

K-Nr.: 21934
 K-no.:

4...40 A -Stromsensor-Modul / Current Sensor Module

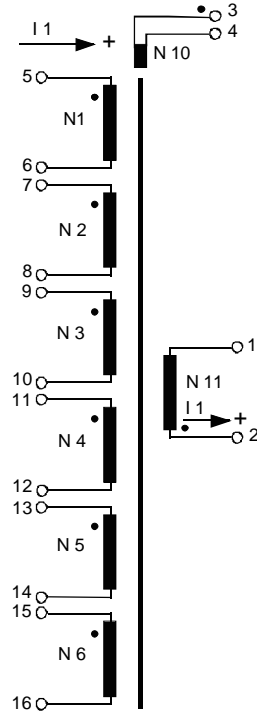
 Datum: 05.11.2008
 Date:

 Kunde:
 Customer

 Kd. Sach Nr.:
 Customers part no.:

 Seite 1 von 8
 Page of

 Maßbild siehe Blatt 2
 Mechanical outlines page 2

 Anschlußschema:
 Schematic diagram


- Pin 1: K1 } Kompensationswicklung
- Pin 2: K2 } Compensation winding
- Pin 3: S1 } Sensorwicklung
- Pin 4: S2 } Sensor winding
- Pin 5...16 } Primärstrom-Bügel
- } Primary current turns

Betriebsdaten/Charakteristische Daten (Richtwerte):
 Operational data/characteristic data (nominal values):

Nennstrom (siehe Blatt 2) Rated current (see page 2)	\hat{I}_{1Neff}	=	4...40	A
Nennübersetzungsverhältnis Transformation ratio	K_N	=	1: 1: 1: 1: 1: 1: 1000	
Max. meßbarer Strom ($U_B = \pm 15$ V, $R_a < 110$ Ω) Maximal measurable current ($U_B = \pm 15$ V, $R_a < 110$ Ω)	\hat{I}_{1max}	=	± 60	A
Innenwiderstand ($T_U = -40...85^\circ\text{C}$) Internal resistance ($T_U = -40...85^\circ\text{C}$)	R_i	<	74	Ω
Abschlußwiderstandsbereich Rated load resistance	R_a	=	50...250	Ω
Umgebungstemperatur/ambient temperature: Lagertemperatur/storage temperature:	T_u	=	-40°C...+ 85°C	
	T_u	=	-40°C...+105°C	
Widerstand der Strombügel (N1...N6) Resistance Copper bare	R_P	=	1 m Ω Bügel/bare	

 Weitere Vorschriften:
 Applicable documents: Siehe Blatt 3
 see page 3

Datum	Name	Index	Änderung
05.11.08	Le	82	Kd.-Namen entfällt. Kein kundenspezifisches Teil mehr. Lapidaränderung.

Hrsg.: KB-E editor	Bearb.: Le designer	KB-PM: KRe.	freig.: prs. released
-----------------------	------------------------	-------------	--------------------------

K-Nr.: 21934
 K-no.:

4...40 A -Stromsensor-Modul / Current Sensor Module

 Datum: 05.11.2008
 Date:

 Kunde:
 Customer

 Kd. Sach Nr.:
 Customers part no.:

 Seite 2 von 8
 Page of

 Maßbild (mm): Freimaßtoleranz DIN ISO 2768-c
 Mechanical outline General tolerances

 Anschlüsse:
 Connections:

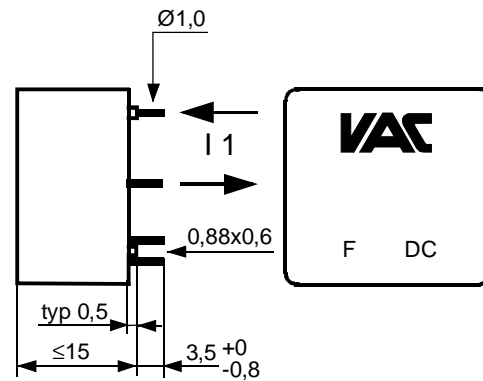
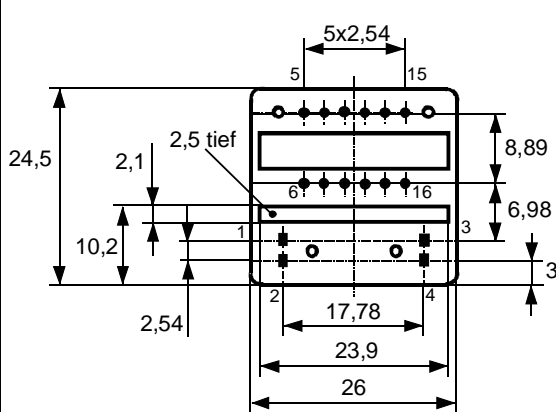
Stifte:

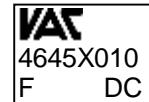
 Pins
 1 ... 4:
 0,6 x 0,88 mm

 5 ... 16:
 Ø 1,0 ±0,15 mm

 Toleranz der Stiftabstände ±0,2mm
 (Tolerances grid distance)

 Ziffern 1-16 nicht aufgedruckt
 (Numbers 1-16 not imprinted)

 DC = Date Code
 F = Factory

 Beschriftung:
 marking


 4645X010
 F DC

 Prüfung: (V: 100%-Test; AQL...: DIN ISO 2859-Teil1)
 Inspection

Prüfung 1) und 2) und 3) mit Elektronikbaustein Sachnummer T60404-Q5790-X011

Test 1), 2) and 3) measured with electronic item No. T60404-Q5790-X011

1) (V)	Übersetzungsverhältnis ($I_1 = 12 \text{ A}$, 50 Hz) Transformation ratio	\ddot{u}	=	6:1000 ± 0,5 %
2) (V)	Offsetstrom Offset current	I_o	≤	0,1 mA
3) (V)	Flußhub Magnetic flux	$\Delta\Phi(K1 - K2)$	=	11,5...13,5 μVs
		$\Delta\Phi(S1 - S2)$	=	16...35 nVs
4) (V)	Wicklungswiderstand Winding resistance	$R(K1 - K2)$	=	48...58 Ω
		$R(S1 - S2)$	=	2,4...3,6 Ω
5) (V)	Prüfspannung (50 Hz, 1 s) Test voltage (50 Hz, 1 s)	V_d	=	3,8 kV
		N1...N6 gegen/to N10...N11		
6) (AQL1/S4)	M3024: Glimmaussetzspannung (RMS) <15s Partial discharge (RMS) Vorspannung (RMS) Defined voltage (RMS)	V_e	≥	1,3 kV
		<5s V_{vor}	=	1,63 kV
		N1...N6 gegen/to N10...N11		

 Hrsg.: KB-E
 editor

 Bearb.: Le
 designer

KB-PM: KRe.

 freig.: prs.
 released

K-Nr.: 21934 K-no.:	4...40 A -Stromsensor-Modul / Current Sensor Module	Datum: 05.11.2008 Date:
Kunde: Customer	Kd. Sach Nr.: Customers part no.:	Seite 3 von 8 Page of

Typprüfung:

Type test

- 1) **Stoßspannungsprüfung in Anlehnung an M3064**
 HV transient test according to M3064

N1...N6 gegen/to N10+N11

Einstellwerte: 1,2 μ s / 50 μ s-Kurvenform (waveform)
 Settings $V_w = 8$ kV
 $R_i = 60 \Omega$

10 Impulse im Abstand $t = 10$ Sekunden mit wechselnder Polarität
 10 pulses in a cycle of $t = 10$ seconds with changing polarity

- 2) **Glimmaussetzspannungsprüfung in Anlehnung an EN 61800-5-1**
 partial discharge test according to IEC 61800-5-1

 $V_e(\text{RMS}) \approx 1,3 \text{ kV} < 15\text{s}, \text{ N1...N6 gegen/to N10...N11}$
 $V_{\text{vor}}(\text{RMS}) = 1,63 \text{ kV} < 5\text{s},$

- 3) **Prüfspannung (50 Hz, 5s) in Anlehnung an IEC 61800-5-1**
 Test voltage (50 Hz, 5s) according to IEC 61800-5-1

 $V_d = 3,6 \text{ kV} \text{ N1...N6 gegen/to N10...N11}$
Prüfspannung (50 Hz, 60 s) in Anlehnung an UL508C

Test voltage (50 Hz, 60s) according to UL508C

 $V_d = 2 \text{ kV} \text{ N1...N6 gegen/to N10...N11}$

Messungen nach Temperaturangleich der Prüflinge an Raumtemperatur
 Measurements after temperature balance of the samples at room temperature

Weitere Vorschriften:

Applicable documents:

Konstruiert, gefertigt und geprüft nach EN 61800 und erfüllt die Vorschriften.

Parameter: Verstärkte Isolierung, Isolierstoffklasse 1, Verschmutzungsgrad 2
 Luftstrecke ≥ 6 mm,
 Kriechstrecke ≥ 9 mm

Bemessungsisolationsspannung: (N1...N6 gegen N10...N11)

Netzspannung Überspannungskategorie 3 RMS $V_{\text{sys}} = 300 \text{ V}$
 Arbeitsspannung Überspannungskategorie 2 DC oder RMS $V_{\text{work}} = 900 \text{ V}$

Bemessungs-Entladungsspannung (Spitzenwert) $U_{\text{PD}} = 1,2 \text{ kV}$

Constructed, manufactured and tested in accordance with EN 61800 and agrees with the standards.

Parameters: Reinforced insulation, Insulation material group 1, Pollution degree 2
 Clearance distance ≥ 6 mm
 Creepage distance ≥ 9 mm

Rated insulation voltage: (N1...N6 to N10...N11)

System voltage Overvoltage category: 3 RMS $V_{\text{sys}} = 300 \text{ V}$
 Working voltage Overvoltage category: 2 DC or RMS value $V_{\text{work}} = 900 \text{ V}$

Rated discharge voltage (peak value) $U_{\text{PD}} = 1,2 \text{ kV}$

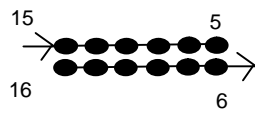
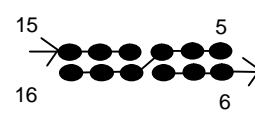
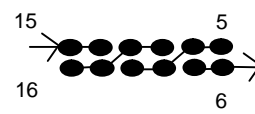
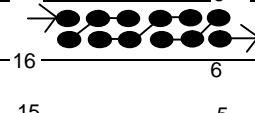
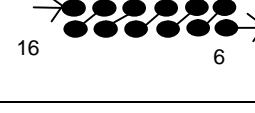
Gehäuse- und Spulenkörperwerkstoff : UL-gelistet

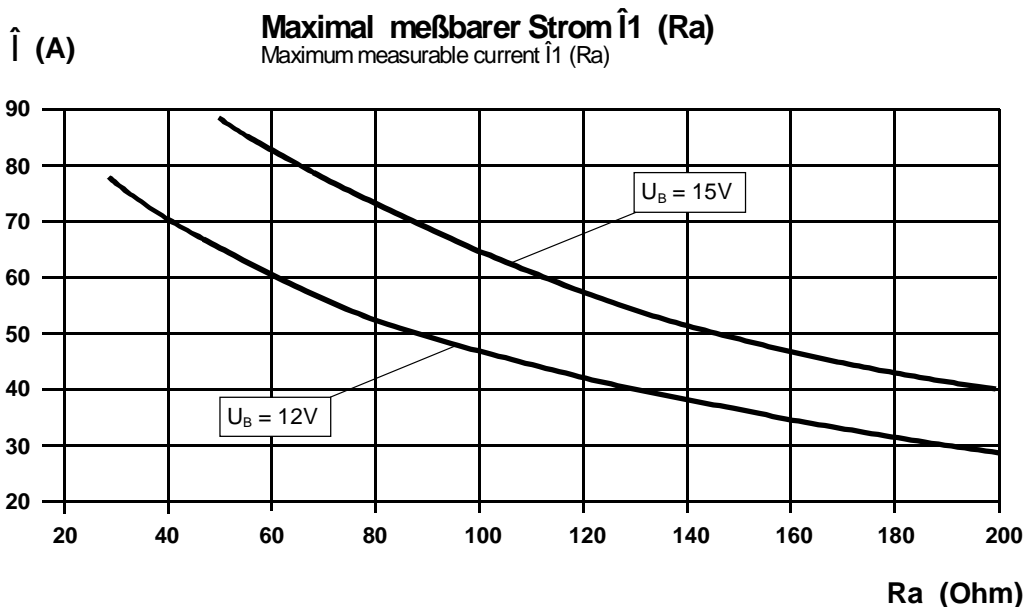
Housing and bobbin material: UL listed

Hrsg.: KB-E editor	Bearb.: Le designer		KB-PM: KRe.			freig.: prs. released
-----------------------	------------------------	--	-------------	--	--	--------------------------

K-Nr.: 21934 K-no.:	4...40 A -Stromsensor-Modul / Current Sensor Module	Datum: 05.11.2008 Date:
Kunde: Customer	Kd. Sach Nr.: Customers part no.:	Seite 4 von 8 Page of

Beschaltungsmöglichkeiten ** $U_B = \pm 15\text{ V}$
 Connections variants

N_1	$\hat{i}_{1\text{Neff}}$	\hat{i}_1^{**}	$i_{a\text{Neff}}$	K_N	R_a	P_{VE}^{**}	F_{ges} ($i_{1\text{Neff}}$)	F_{ges} ($i_{1\text{Neff}}/2$)	Beschaltung connection
Wdg	A	A	mA		Ohm	mW	%	%	
1	40	60	40	1 : 1000	100	395	1,1	1,8	
1	35	60	35	1 : 1000	100	370	1,2	1,9	
1	30	60	30	1 : 1000	100	340	1,3	2,2	
1	25	40	25	1 : 1000	200	240	1,5	2,5	
2	20	30	40	2 : 1000	100	395	1,1	1,8	
2	15	30	30	2 : 1000	100	340	1,3	2,2	
3	12	20	36	3 : 1000	100	375	1,2	1,9	
3	10	20	30	3 : 1000	100	340	1,3	2,2	
3	8	12	24	3 : 1000	200	235	1,5	2,6	
4	6	15	24	4 : 1000	100	295	1,5	2,6	
6	6	10	36	6 : 1000	100	375	1,2	1,9	
6	5	10	30	6 : 1000	100	340	1,3	2,2	
6	4	6,5	24	6 : 1000	200	235	1,5	2,6	



Hrsg.: KB-E editor	Bearb.: Le designer	KB-PM: KRe.	freig.: prs. released
-----------------------	------------------------	-------------	--------------------------

K-Nr.: 21934 K-no.:	4...40 A -Stromsensor-Modul / Current Sensor Module	Datum: 05.11.2008 Date:
Kunde: Customer	Kd. Sach Nr.: Customers part no.:	Seite 5 von 8 Page of

Charakteristische Daten (Richtwerte) des Stromsensormoduls ermittelt durch eine Typprüfung
General data ascertained by type test

Meßgenauigkeit bei Raumtemperatur Measuring accuracy at room temperatur	F_i	<	0,5	%
Linearität Linearity	F_{Li}	<	0,1	%
Temperaturdrift von F_i (-40...+85°C) Temperature drift of F_i (-40...+85°C)	F_{Ti}	<	0,1	%
Frequenzbereich (bei eingeschränkter Amplitude) Frequency range (with limited amplitude)	f	=	DC...100	kHz
Ansprechzeit Response time	τ	<	2,5	μ s
Verzögerungszeit bei \hat{i}_{1max} bei einem Stromanstieg von $di/dt = 100$ A/ μ s Delay time at \hat{i}_{1max} with a current rise of $di/dt = 100$ A/ μ s	$\Delta t (\hat{i}_{1max}, 100$ A/ μ s)	<	1	μ s
Offsetstrom (beinhaltend $I_o, \Delta I_{ot}, \Delta I_{oT}$) Offset current (including $I_o, \Delta I_{ot}, \Delta I_{oT}$)	I_{oges}	<	0,2	mA
Offsetstrom bei Raumtemperatur Offset current at room temperature	I_o	<	0,1	mA
Drift von I_o Offset current drift	ΔI_{ot}	<	0,1	mA
Temperaturdrift von I_o (-40...+85°C) Offset current temperature drift (-40...+85°C)	ΔI_{oT}	<	0,1	mA
Hysterese von I_o Hysteresis of I_o	ΔI_{oH}	<	0,1	mA
Offsetripple (s.Blatt 5) Offset ripple (s. page 5)	i_{oss}	<	1,5	mA
Versorgungsspannungsdurchgriff auf I_o Supply voltage rejection ratio	$\Delta I_o/\Delta U_B$	<	0,01	mA/V
Koppelkapazität primär - sekundär Coupling capacitance (primary - secondary)	C_k	<	4	pF
Ausgangsstörgleichstrom Interference output current	I_{aSt}	<	0,1	mA
Kritischer Abstand bei einem Störimpuls Critical distance with an interference pulse current	a_{Krit}	<	3,5	cm
Masse Masse	m	<	16	g

Stromrichtung: Ein positiver Meßstrom erscheint am Anschluß i_a , wenn der Primärstrom in Pfeilrichtung fließt.
Current direction: A positiv output current appears at point i_a by primary current in direction of the arrow.

Hrsg.: KB-E editor	Bearb.: Le designer	KB-PM: KRe.	freig.: prs. released
-----------------------	------------------------	-------------	--------------------------

K-Nr.: 21934 K-no.:	4...40 A -Stromsensor-Modul / Current Sensor Module	Datum: 05.11.2008 Date:
Kunde: Customer	Kd. Sach Nr.: Customers part no.:	Seite 6 von 8 Page of

Mögliche Offsetripple-Verringerung durch Tiefpaß:

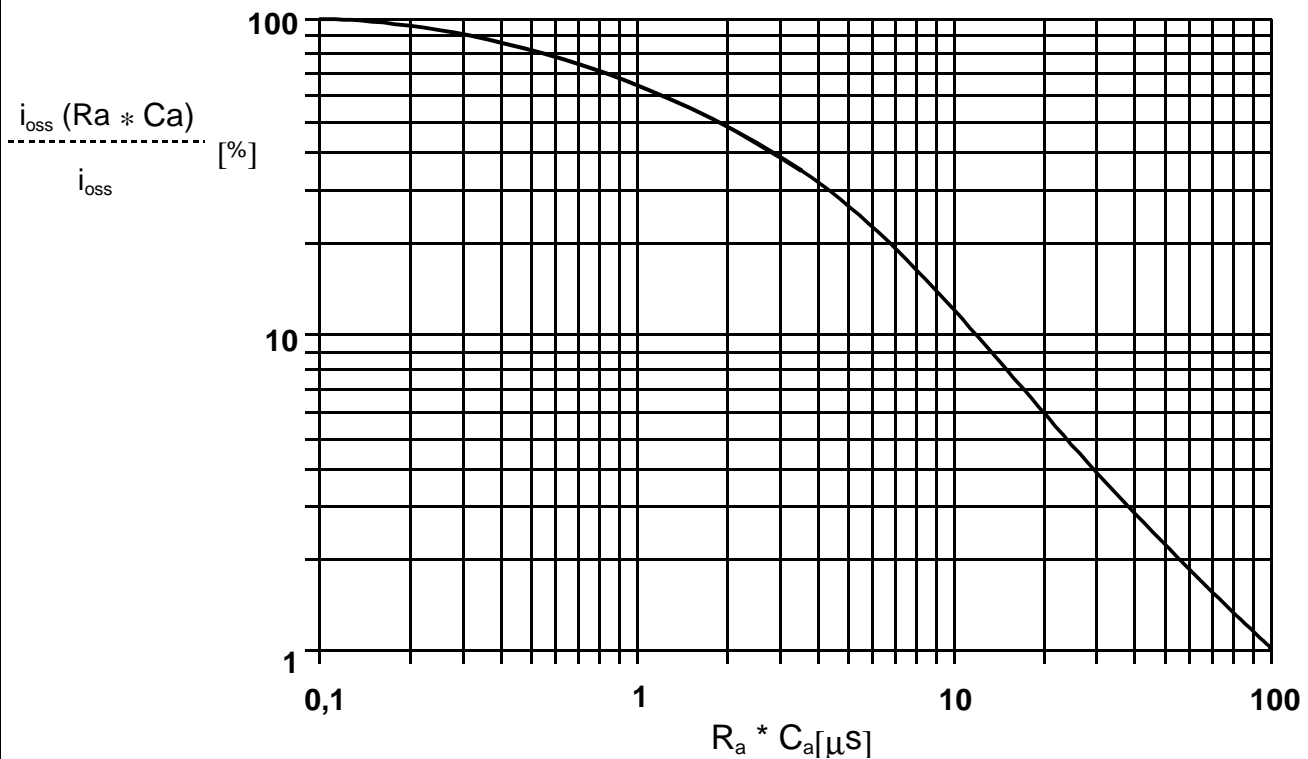
Available offset ripple reduction means of a low pass:

Der Offsetripple kann durch einen externen Tiefpaß verringert werden. Dazu muß parallel zu R_a eine Kapazität C_a geschaltet werden. Die Abbildung zeigt den verbleibenden Wert des Offsetripples ($i_{oss}(R_a \cdot C_a)$) bezogen auf den Wert ohne externe Kapazität (i_{oss}). Hierbei wird allerdings die Ansprechzeit verlängert. Sie berechnet sich nach der Formel:

The offset ripple can be reduced by an external low pass. Therefore a capacitance C_a must be switched parallel to R_a . The diagram shows the remaining value of the offset ripple ($i_{oss}(R_a \cdot C_a)$) relative to the value without external capacitance (i_{oss}). In this case the response time is lengthened. It is calculated from:

$$\tau_a \leq \tau + 2,5 \cdot R_a \cdot C_a \quad \text{bzw.} \quad f_g = \frac{1}{2\pi \cdot R_a \cdot C_a}$$

Beispiel: $i_{oss}(R_a \cdot C_a)$
 Example: ----- = 25%
 i_{oss}
 $R_a = 47 \Omega; \quad C_a = 100 \text{ nF}$
 $\tau_a \leq 21 \mu\text{s}; \quad f_g = 34 \text{ kHz}$



Weitergabe sowie Vervielfältigung dieser Unterlage, Verwertung und Mitteilung ihres Inhalts nicht gestattet, soweit nicht ausdrücklich zugestanden. Zuwiderhandlungen verpflichten zu Schadenersatz. Alle Rechte für den Fall der Patenterteilung oder GM-Eintragung vorbehalten.
 Copying of this document, disclosing it to third parties or using the contents there for any purposes without express written authorization by use illegally forbidden. Any offenders are liable to pay all relevant damages.

K-Nr.: 21934
 K-no.:

4...40 A -Stromsensor-Modul / Current Sensor Module

 Datum: 05.11.2008
 Date:

 Kunde:
 Customer

 Kd. Sach Nr.:
 Customers part no.:

 Seite 7 von 8
 Page of

Erläuterung einiger in den Tabellen verwendeter Größen (alphabetisch)

Explanation of several of the terms used in the tablets (in alphabetical order)

a_{Krit}: Abstand eines störstromführenden Leiters von der Gehäuseseitenfläche, bei dem auch an ungünstiger Stelle die zugeordnete Störgröße am Ausgang des Sensos 1% des Nennstroms nicht übersteigt. Den Angaben liegt ein sinusförmiger Störimpuls mit einer Impulsbreite von 50 µs in Höhe des Nennstroms zugrunde.

Distance of a current carrying conductor from the sides of the housing, where even at the most unfavourable spot the applicable interference at the sensor output does not exceed 1% of rated current. The data is based on a sinusoidal interference pulse current with a pulse width of 50 µs having the same magnitude as the rated current.

F_{ges}(i₁): Die Summe aller möglichen Fehler im gesamten Temperaturbereich bei der Messung eines Stroms i₁:

 The sum of all possible errors over the temperature range when measuring a current i₁:

$$F_{ges} = 100 \cdot \left| \frac{i_a(i_1)}{K_N \cdot i_1} - 1 \right|$$

F_i: In der Ausgangsprüfung zugelassener Meßfehler bei RT, definiert durch

Permissible measurement error in the final inspection at RT, defined by

$$F_i = 100 \cdot \left| \frac{I_a}{I_{aNeff}} - 1 \right|$$

wobei I_{an} der offsetbereinigte Ausgangsgleichstromwert für einen Eingangsgleichstrom in Höhe des (positiven) Nennstroms ist (d.h. I_o = 0)

where I_{an} is the output DC value of an input DC current of the same magnitude as the (positive) rated current (I_o = 0)

F_{Li}: Linearitätsfehler definiert durch $F_{Li} = 100 \cdot \left| \frac{I_1}{I_{1Neff}} - \frac{I_a}{I_{an}} \right|$

Linearity fault defined by

Dabei ist I₁ beliebiger Eingangsgleichstrom und I_a die zugehörige offsetbereinigte Ausgangsgröße (d.h. I_o = 0). I_{an} s. Erläuterung zu F_i.

Where I₁ is any input DC and I_a the corresponding output term. I_{an} see notes of F_i (I_o = 0).

F_{Ti}: Temperaturdrift der nennwertbezogene Ausgangsgrößen I_{an} (vgl. Erläuterung zu F_i) im spezifischen Temperaturbereich, gegeben durch.

 Temperatur drift of the rated value orientated output term. I_{an} (cf. Notes on F_i) in a specified temperature range, obtained by:

$$F_{Ti} = 100 \cdot \left| \frac{I_{an}(T_{U2}) - I_{an}(T_{U1})}{I_{aNeff}} \right|$$

K-Nr.: 21934 K-no.:	4...40 A -Stromsensor-Modul / Current Sensor Module	Datum: 05.11.2008 Date:
Kunde: Customer	Kd. Sach Nr.: Customers part no.:	Seite 8 von 8 Page of 8

<p>i_{aSt}: Ausgangsgleichstrom hervorgerufen durch einen Störgleichstrom in Höhe des Nennstroms in einem Leiter in 1 cm Abstand von der Gehäuseseitenfläche (ungünstige Lage).</p> <p>Output DC current caused by an interfering DC current of the same magnitude as the rated current in a conductor 1 cm away from the sides of the housing (unfavourable position).</p>	
<p>ΔI_{oH}: Nullpunktabweichung nach Übersteuerung mit Gleichstrom des 4-fachen Nennwerts. ($R_a = R_{aN}$)</p> <p>Zero variaton after overloading with a DC of fourfold the rated value. ($R_a = R_{aN}$)</p>	
<p>ΔI_{ot}: Langzeitdrift von I_o nach 100 Temperaturwechseln im Bereich von -40 bis 85 °C.</p> <p>Long term drift of I_o after 100 temperature cycles in the range -40 to 85 °C.</p>	
<p>P_{VE}: Die maximale Verlustleistung des Elektronikbausteins, die durch das Stromsensormodul und den Abschlußwiderstand R_o bei einem Ausgangsstrom $i_{a,eff}$ bewirkt wird.</p> <p>The maximum power loss of an electronic module, caused by the current sensor module, the external resistance and the output current $i_{a,eff}$</p> <p>$P_{VE} = i_{a,eff} \cdot (U_{Bmax} - (R_a + R_i / 1,5) \cdot i_{a,eff})$.</p>	
<p>τ: Ansprechzeit, gemessen als Verzögerungszeit bei $i_1 = 0,9 \cdot \hat{i}_1$ zwischen einem eingespeisten Rechteckstrom und dem dazugehörigen Ausgangsstrom.</p> <p>Response time, measured as delay time at $i_1 = 0,9 \cdot \hat{i}_1$ between a rectangular current i_1 and the output current i_a</p>	
<p>$\Delta t (\hat{i}_{1max}, 100 A/\mu s)$: Verzögerungszeit zwischen \hat{i}_{1max} und dem dazugehörigen Ausgangsstrom i_a bei einem Stromanstieg des Primärstroms von $di_1/dt = 100 A/\mu s$.</p> <p>Delay time between \hat{i}_{1max} and the output current i_a with a primary current rise of $di_1/dt = 100 A/\mu s$</p>	
<p>U_{PD} Bemessungs-Entladungsspannung (in der Anwendung zugelassene wiederkehrende Scheitelspannung, die durch die Isolation getrennt wird) nachgewiesen mit einer sinusförmigen Spannung V_e</p> <p>Rated discharge voltage (recurring peak voltage separated by the insulation) proved with a sinusoidal voltage V_e</p> <p>$U_{PD} = \sqrt{2} \cdot V_e / 1,5$</p>	
<p>V_{vor} Vorspannung ist der Effektivwert einer sinusförmigen Spannung deren Spitzenwert $1,875 \cdot U_{PD}$ ergibt, die in der Norm EN 61800 zum Nachweis der Teilentladungsprüfung gefordert wird.</p> <p>Defined voltage is the RMS valve of a sinusoidal voltage with peak value of $1,875 \cdot U_{PD}$ required for partial discharge test in IEC 61800</p> <p>$U_{vor} = 1,875 \cdot U_{PD} / \sqrt{2}$</p>	
<p>V_{sys} Netzspannung: Effektivwert der Bemessungsspannung nach EN 61800 -5-1</p> <p>System voltage RMS value of rated voltage according to IEC 61800-5-1</p>	
<p>V_{work} Arbeitsspannung: Spannung nach EN 61800-5-1, die durch Auslegung in einem Stromkreis oder über der Isolierung auftritt</p> <p>Working voltage voltage according to IEC 61800-5-1 which occurs by design in a circuit or across insulation</p>	

Hrsg.: KB-E editor	Bearb: Le designer		KB-PM: KRe.			freig.: prs. released
-----------------------	-----------------------	--	-------------	--	--	--------------------------

Компания «Океан Электроники» предлагает заключение долгосрочных отношений при поставках импортных электронных компонентов на взаимовыгодных условиях!

Наши преимущества:

- Поставка оригинальных импортных электронных компонентов напрямую с производств Америки, Европы и Азии, а так же с крупнейших складов мира;
- Широкая линейка поставок активных и пассивных импортных электронных компонентов (более 30 млн. наименований);
- Поставка сложных, дефицитных, либо снятых с производства позиций;
- Оперативные сроки поставки под заказ (от 5 рабочих дней);
- Экспресс доставка в любую точку России;
- Помощь Конструкторского Отдела и консультации квалифицированных инженеров;
- Техническая поддержка проекта, помощь в подборе аналогов, поставка прототипов;
- Поставка электронных компонентов под контролем ВП;
- Система менеджмента качества сертифицирована по Международному стандарту ISO 9001;
- При необходимости вся продукция военного и аэрокосмического назначения проходит испытания и сертификацию в лаборатории (по согласованию с заказчиком);
- Поставка специализированных компонентов военного и аэрокосмического уровня качества (Xilinx, Altera, Analog Devices, Intersil, Interpoint, Microsemi, Actel, Aeroflex, Peregrine, VPT, Syfer, Eurofarad, Texas Instruments, MS Kennedy, Miteq, Cobham, E2V, MA-COM, Hittite, Mini-Circuits, General Dynamics и др.);

Компания «Океан Электроники» является официальным дистрибьютором и эксклюзивным представителем в России одного из крупнейших производителей разъемов военного и аэрокосмического назначения «JONHON», а так же официальным дистрибьютором и эксклюзивным представителем в России производителя высокотехнологичных и надежных решений для передачи СВЧ сигналов «FORSTAR».



JONHON

«JONHON» (основан в 1970 г.)

Разъемы специального, военного и аэрокосмического назначения:

(Применяются в военной, авиационной, аэрокосмической, морской, железнодорожной, горно- и нефтедобывающей отраслях промышленности)

«FORSTAR» (основан в 1998 г.)

ВЧ соединители, коаксиальные кабели, кабельные сборки и микроволновые компоненты:

(Применяются в телекоммуникациях гражданского и специального назначения, в средствах связи, РЛС, а так же военной, авиационной и аэрокосмической отраслях промышленности).



Телефон: 8 (812) 309-75-97 (многоканальный)

Факс: 8 (812) 320-03-32

Электронная почта: ocean@oceanchips.ru

Web: <http://oceanchips.ru/>

Адрес: 198099, г. Санкт-Петербург, ул. Калинина, д. 2, корп. 4, лит. А